

20200207FE0220001

Fig. 1A

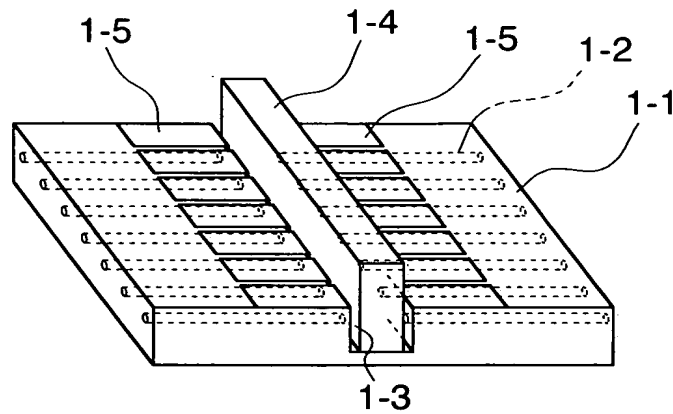


Fig. 1B

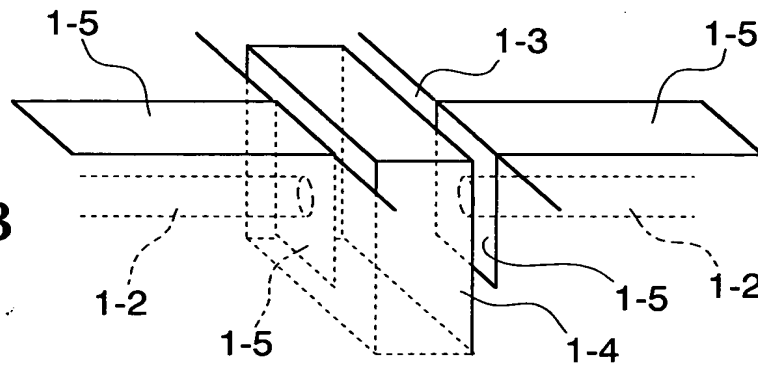


Fig. 1C

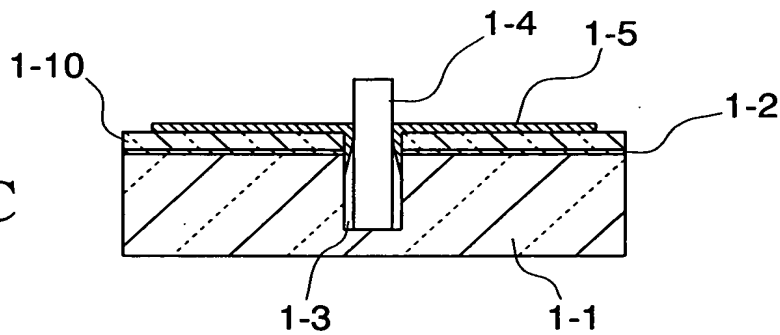


Fig. 1D

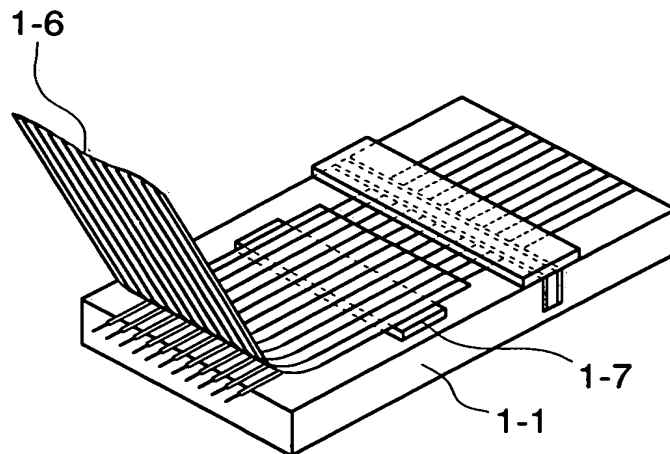


Fig. 2A

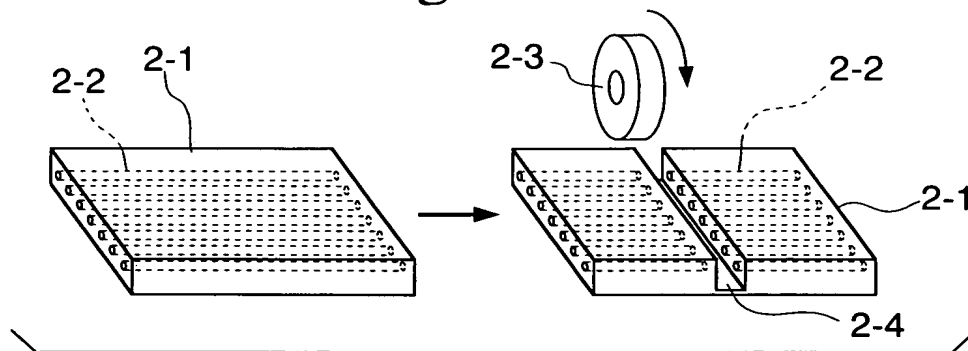


Fig. 2B

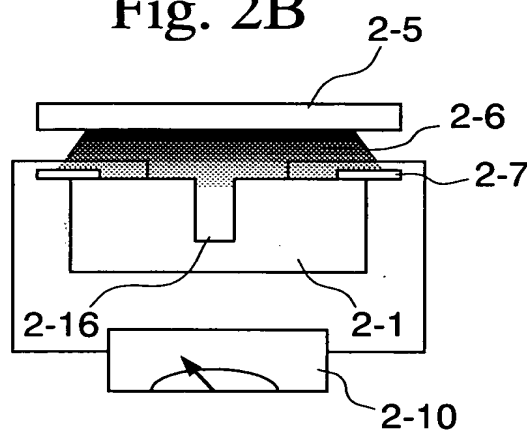


Fig. 2C

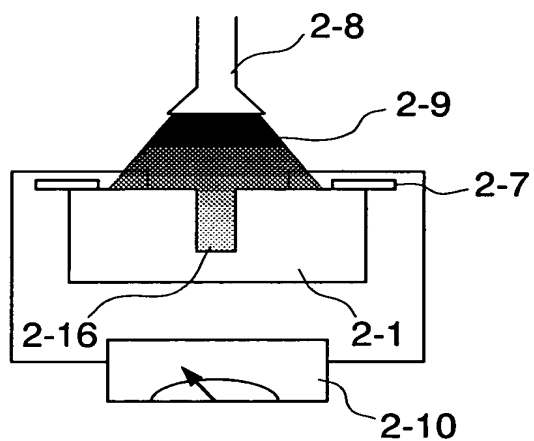


Fig. 2D

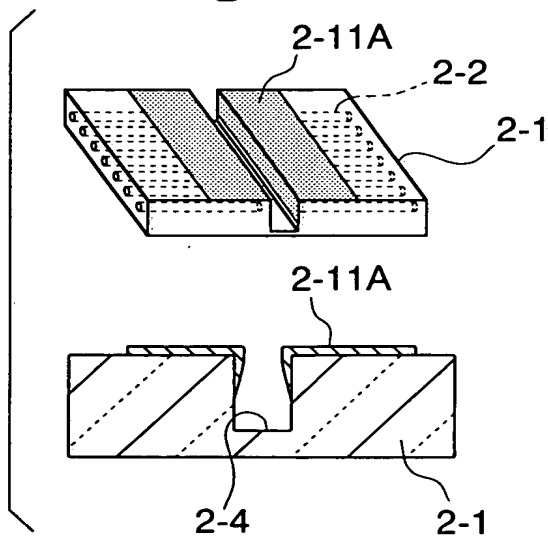


Fig. 3A

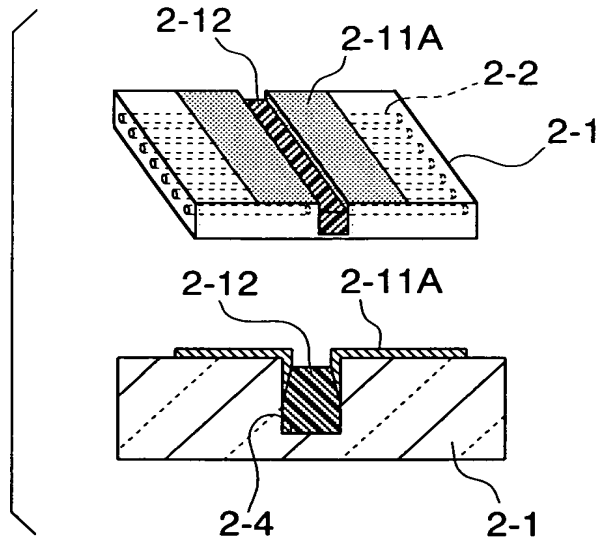


Fig. 3B

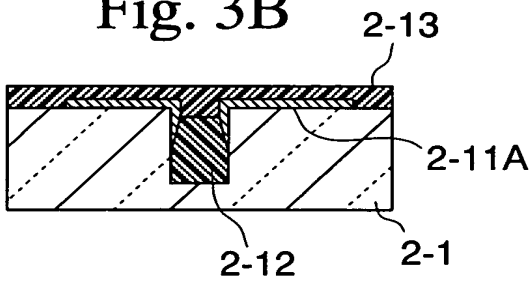


Fig. 3C

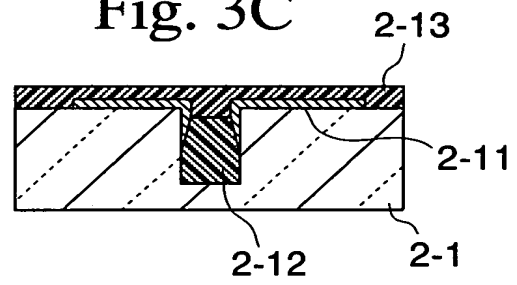


Fig. 3D

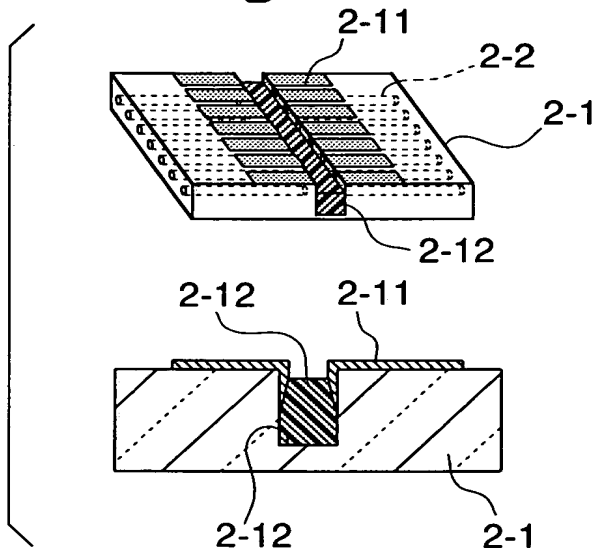


Fig. 4A

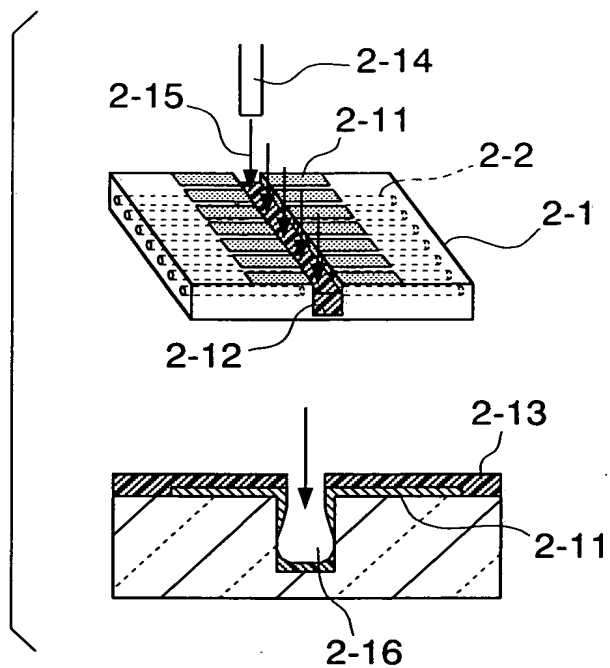


Fig. 4B

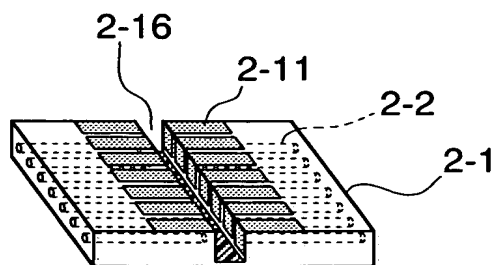


Fig. 4C

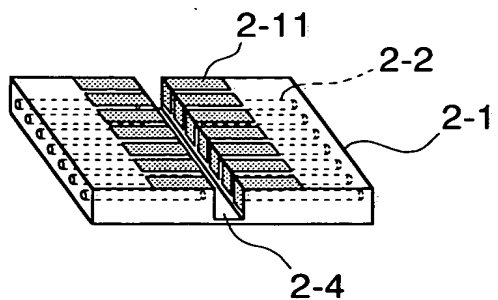


Fig. 7A

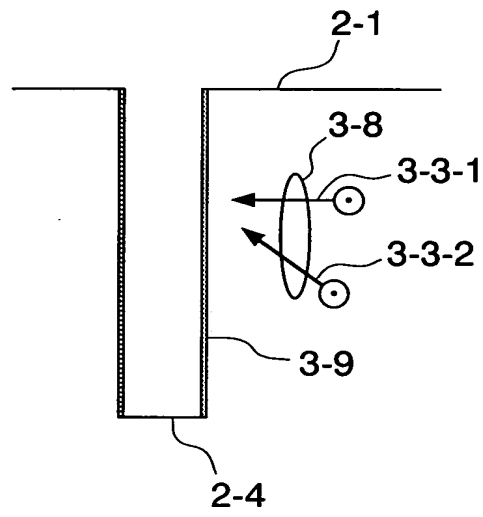


Fig. 7B

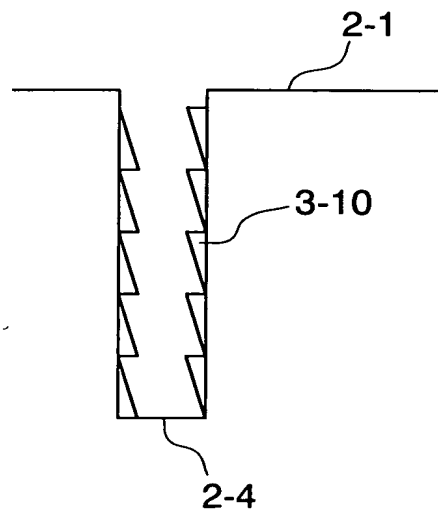


Fig. 8A

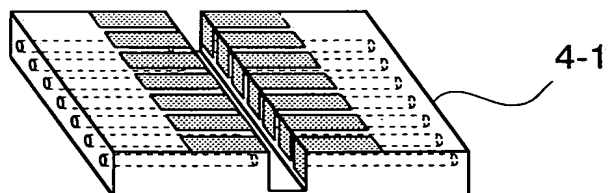


Fig. 8B

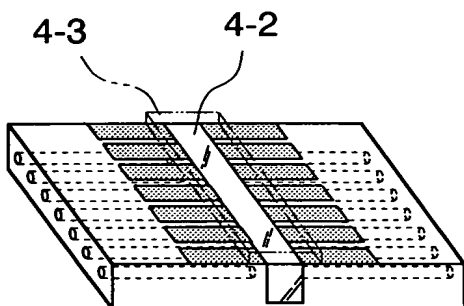


Fig. 8D

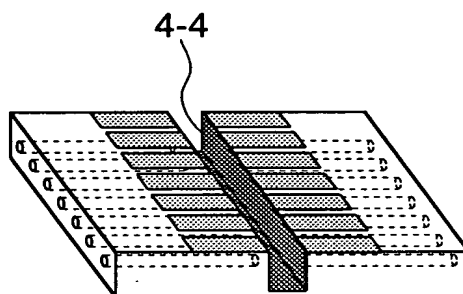


Fig. 8C

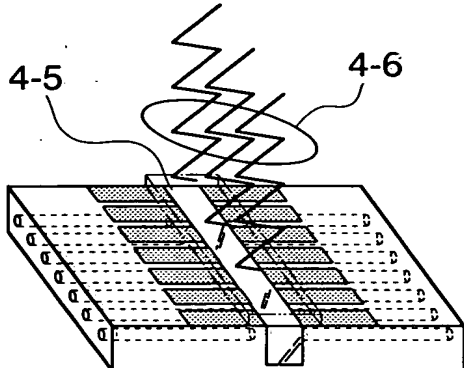


Fig. 8E

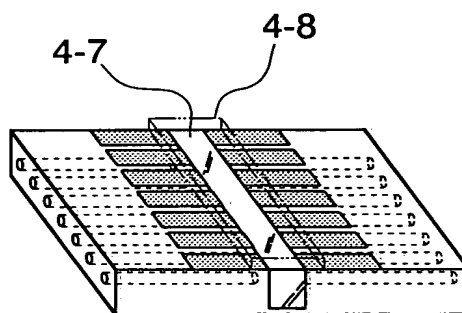


Fig. 9A

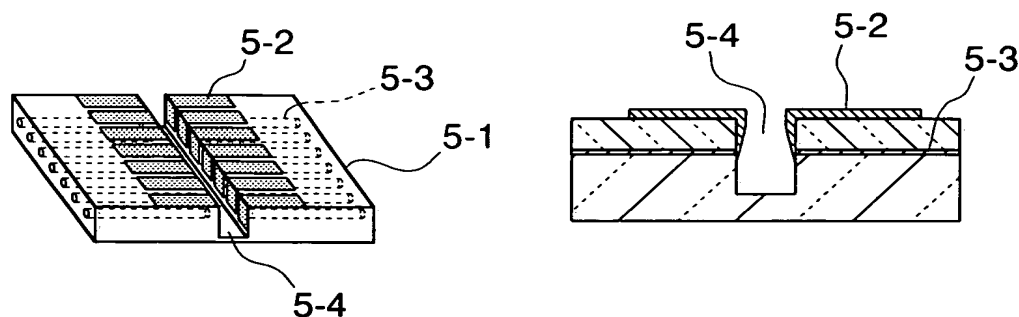


Fig. 9B

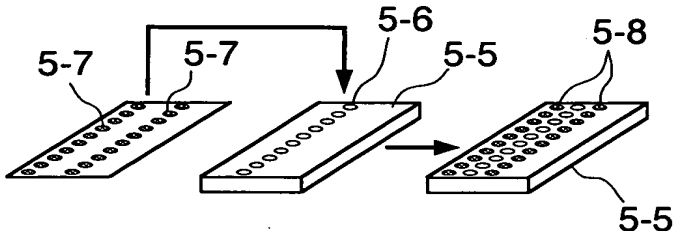


Fig. 9C

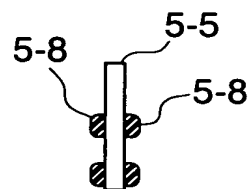


Fig. 9D

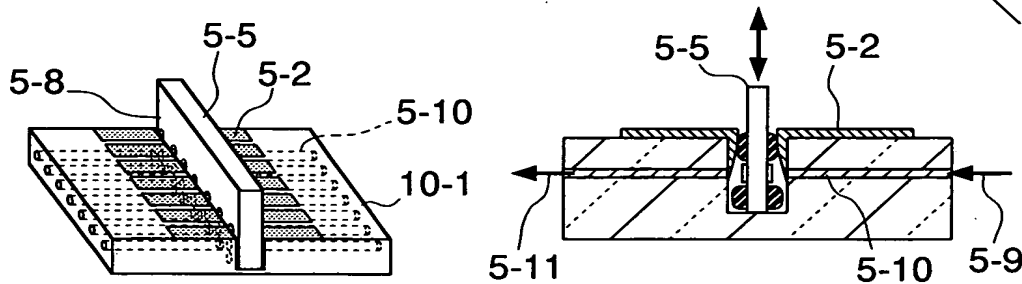


Fig. 9E

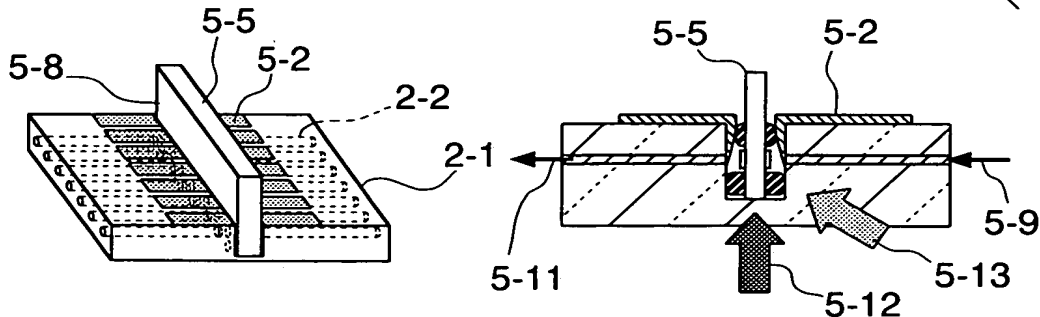


Fig. 10A

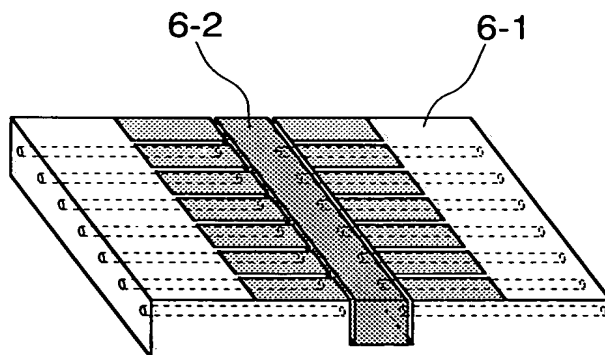


Fig. 10B

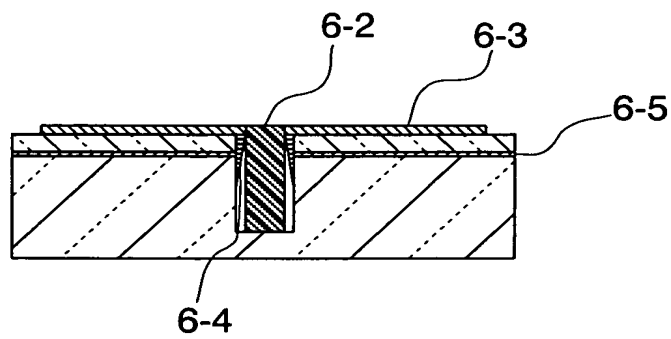


Fig. 10C

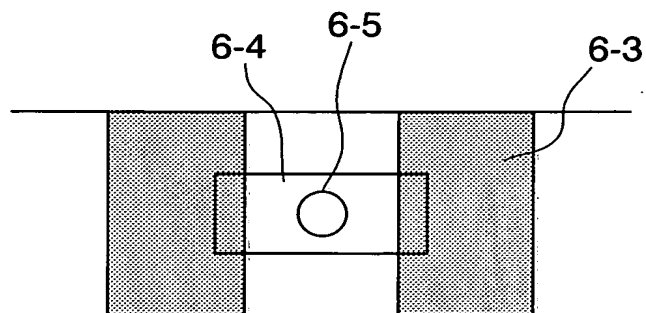


Fig. 11A

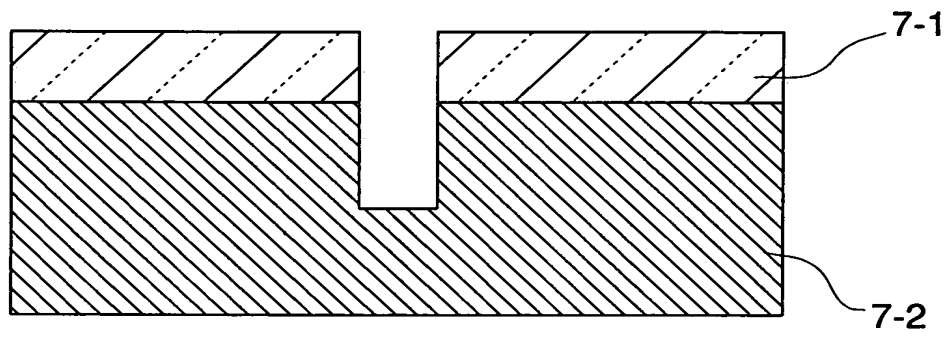


Fig. 11B

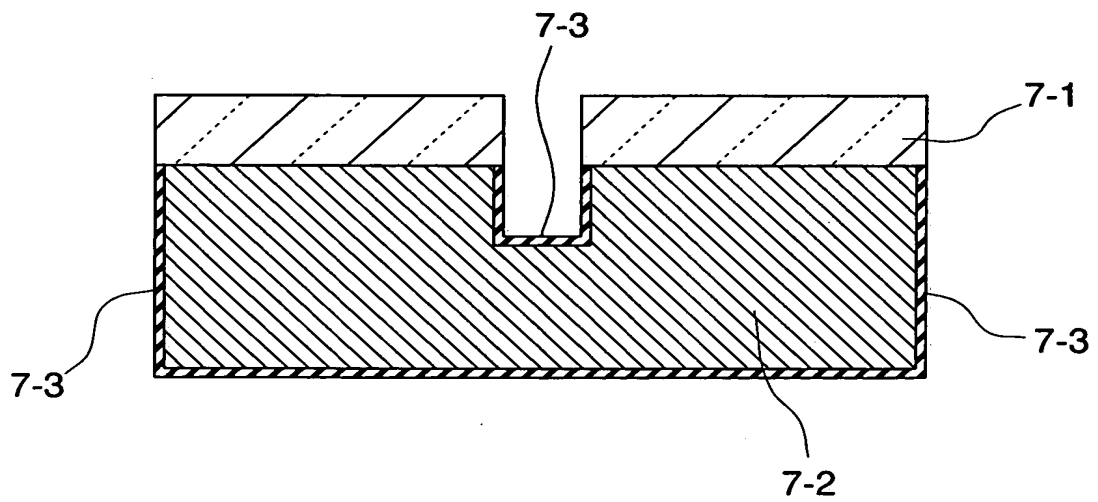


Fig. 12A

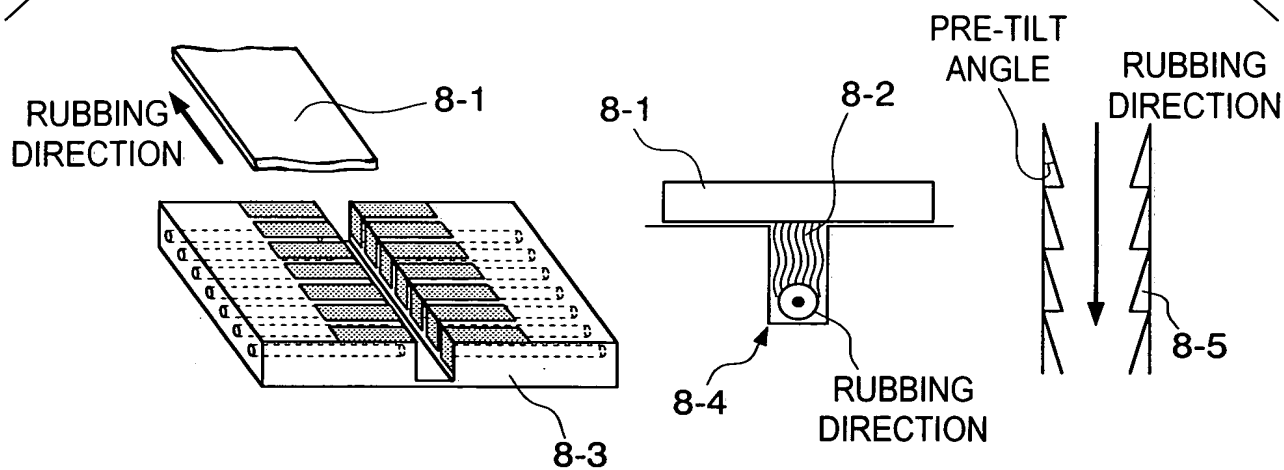


Fig. 12B

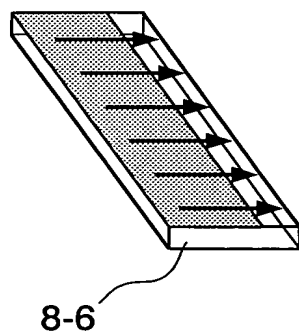


Fig. 12C

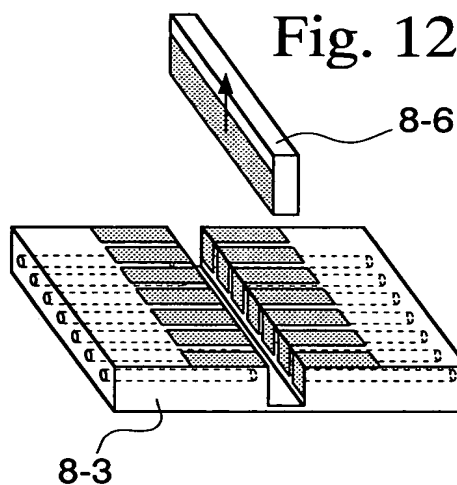


Fig. 12D

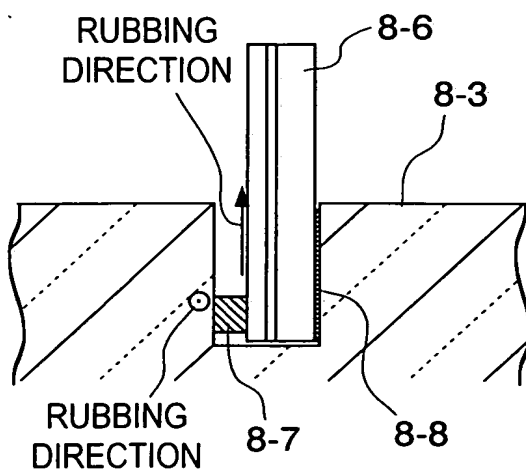


Fig. 12E

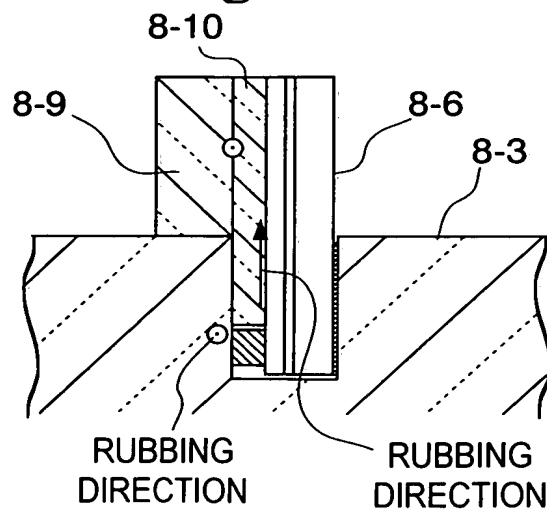


Fig. 13A

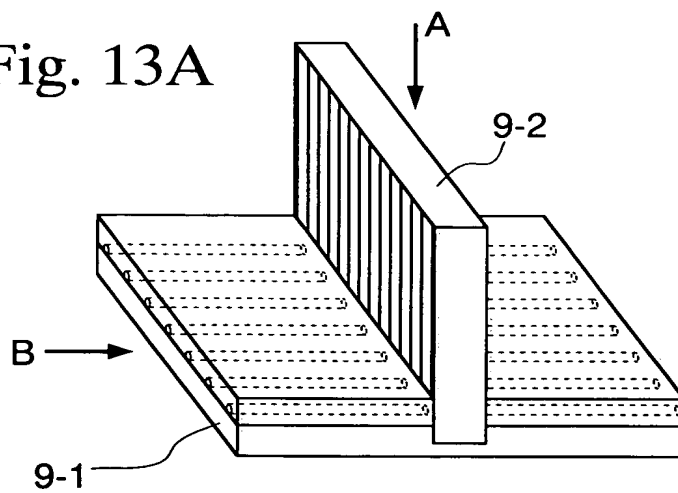


Fig. 13B

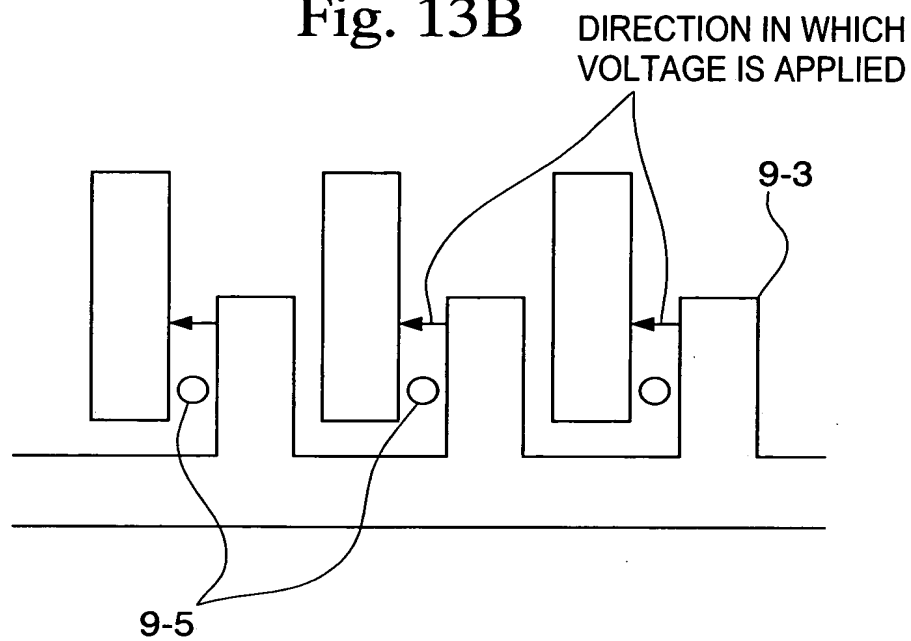


Fig. 13C

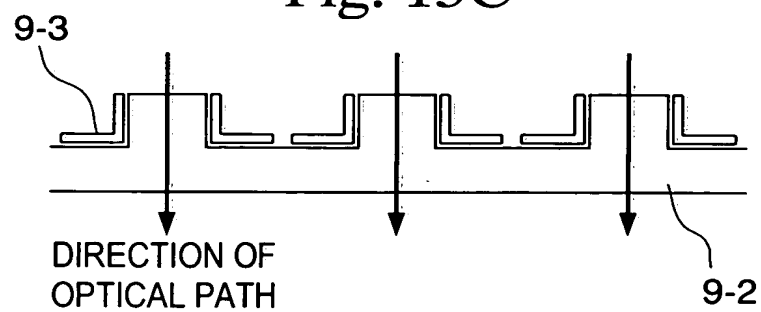


Fig. 14A

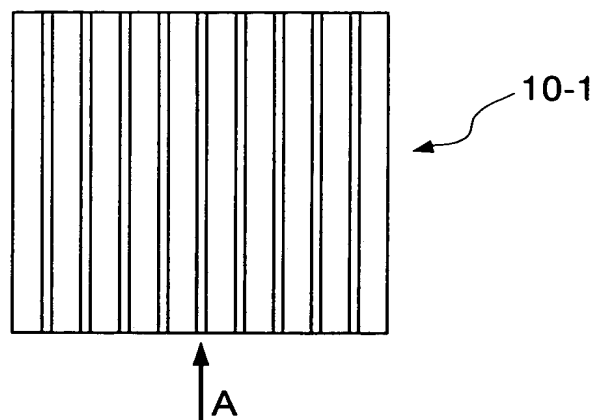


Fig. 14B

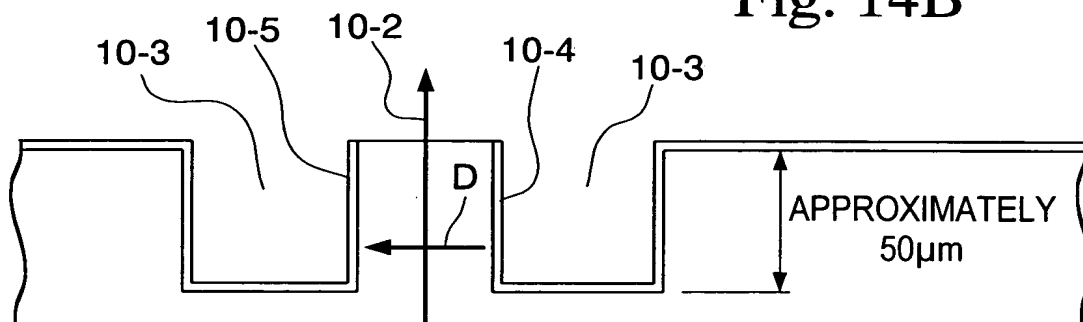


Fig. 14C

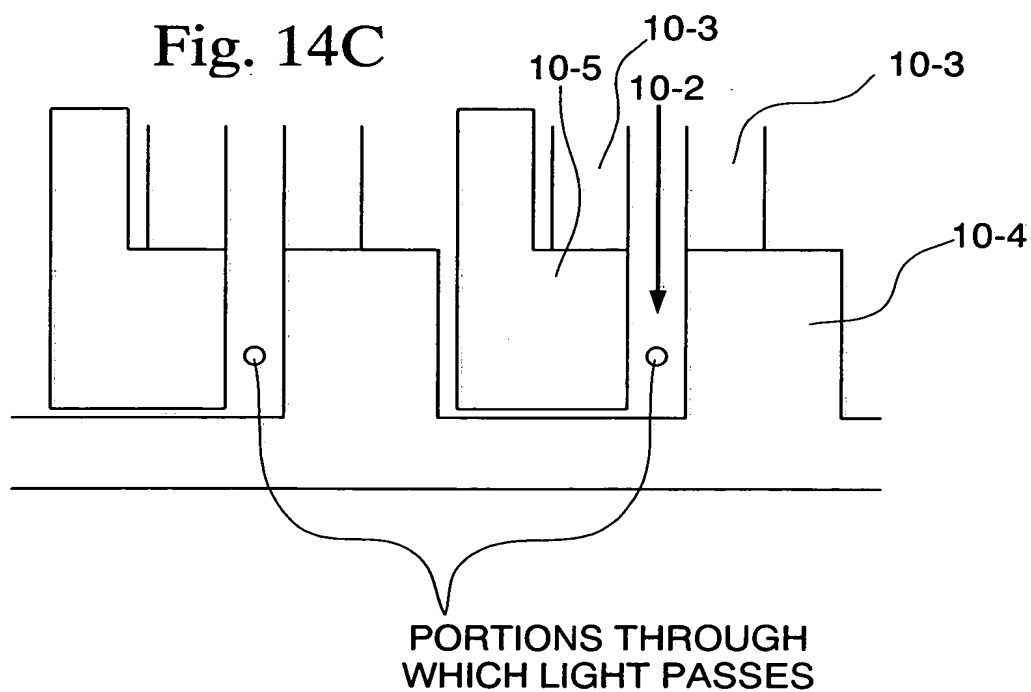


Fig. 15A

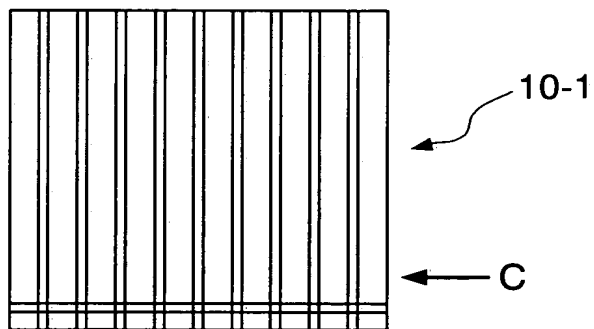


Fig. 15B

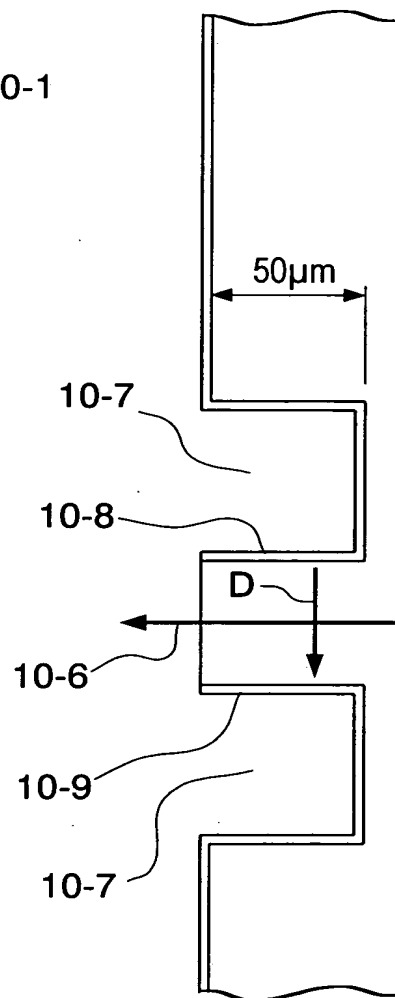


Fig. 15C

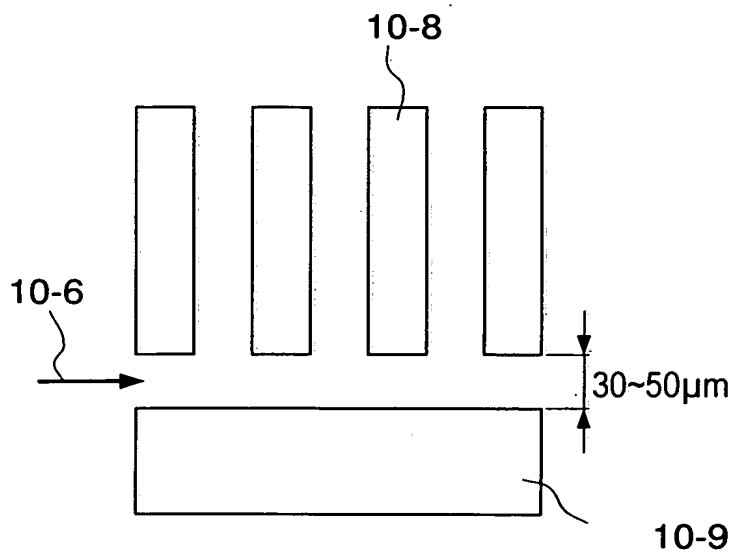


Fig. 16A

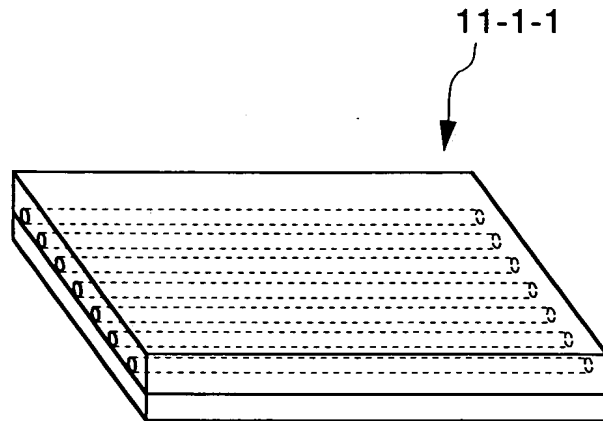


Fig. 16B

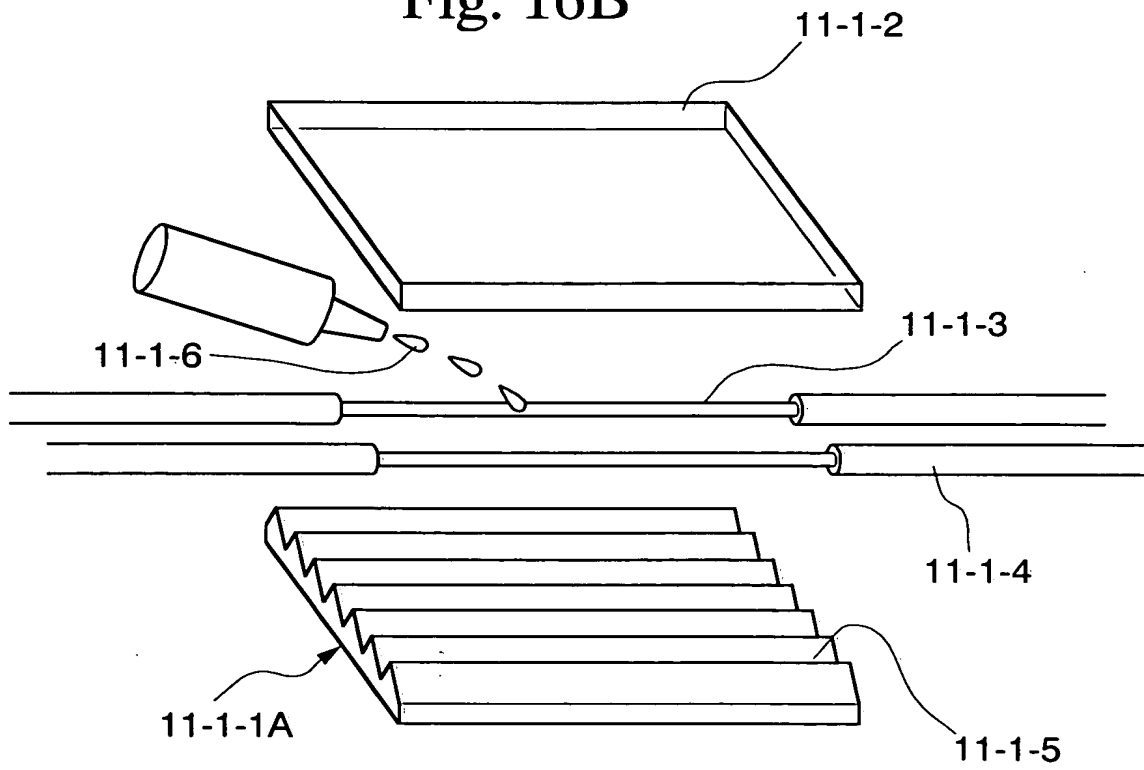


Fig. 17A

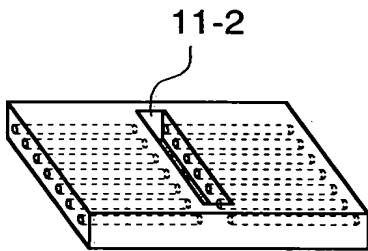


Fig. 17B

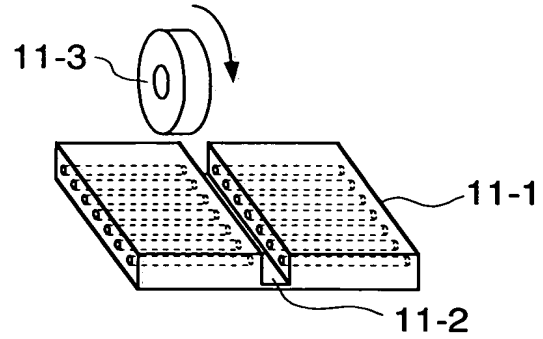


Fig. 18A

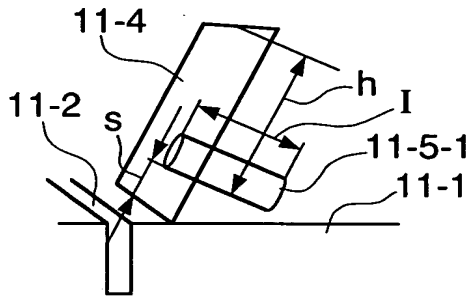


Fig. 18B

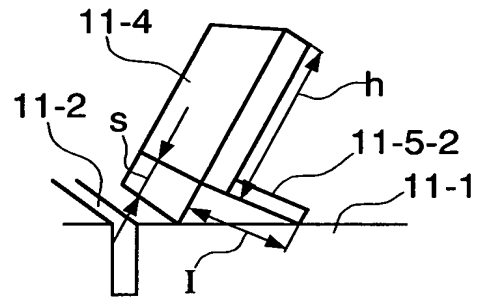


Fig. 18C

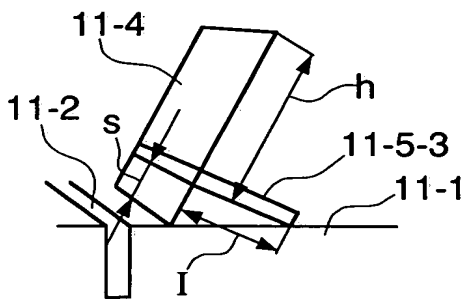


Fig. 18D

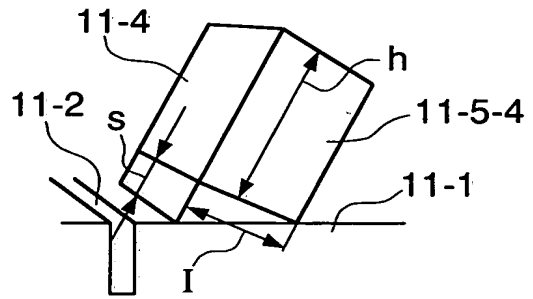


Fig. 19A

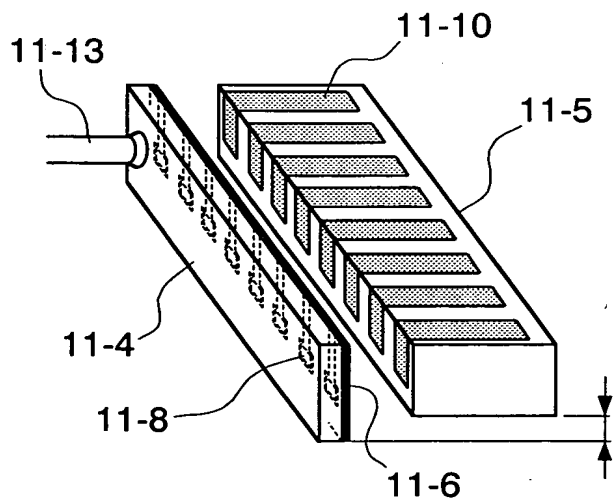


Fig. 19B

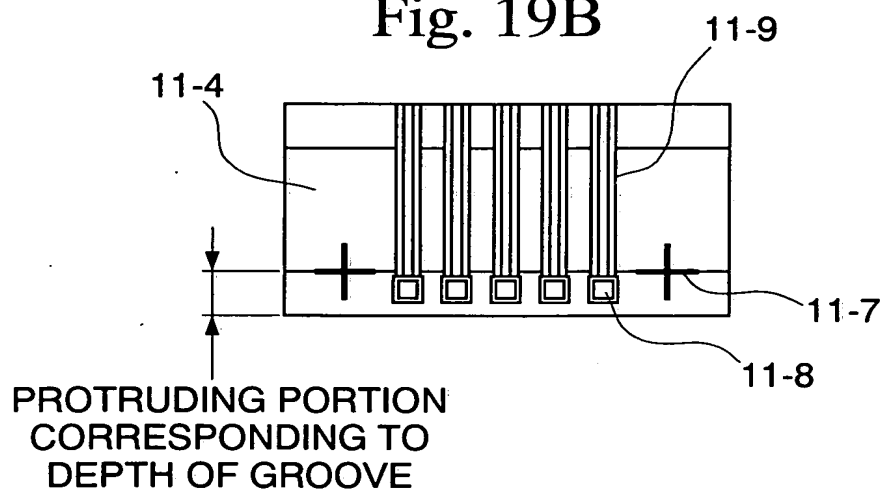


Fig. 20A

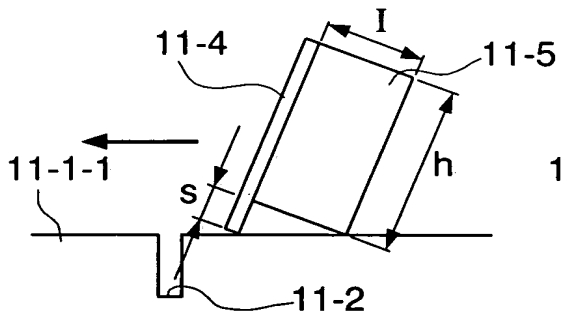


Fig. 20B

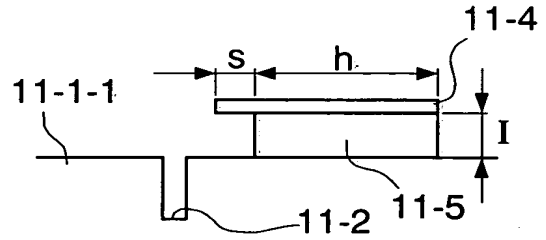


Fig. 20C

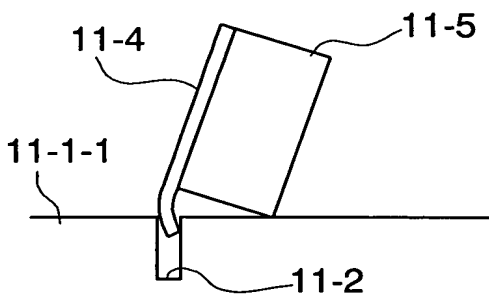


Fig. 20D

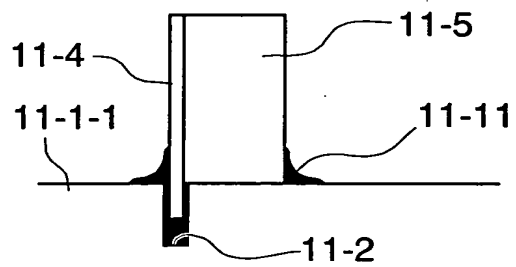


Fig. 21

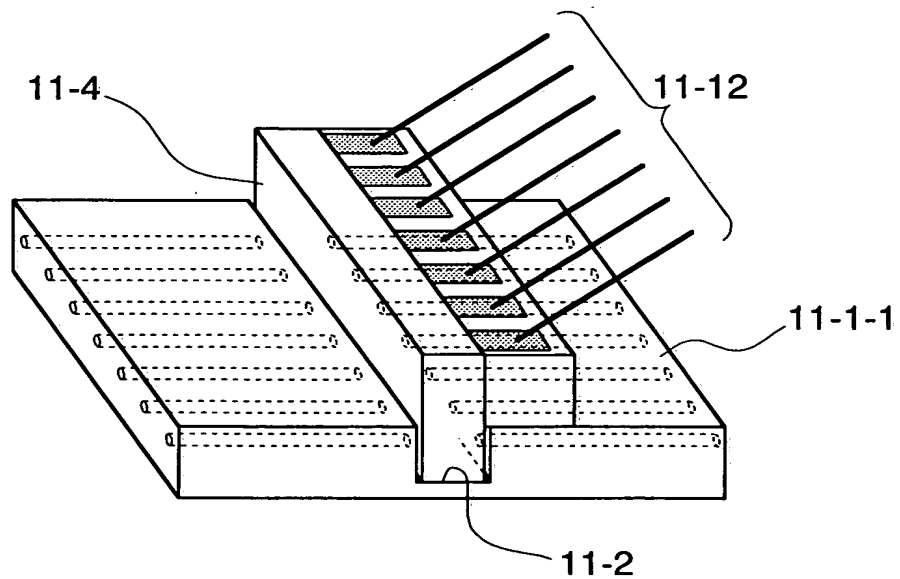


Fig. 22A

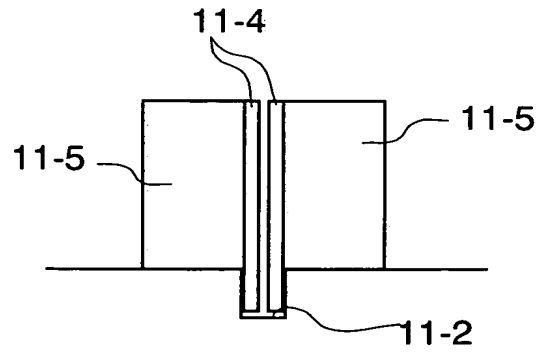


Fig. 22B

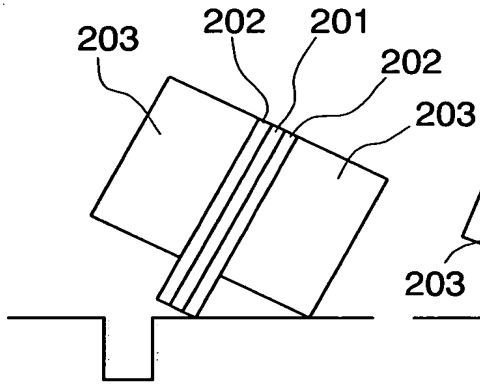


Fig. 22C

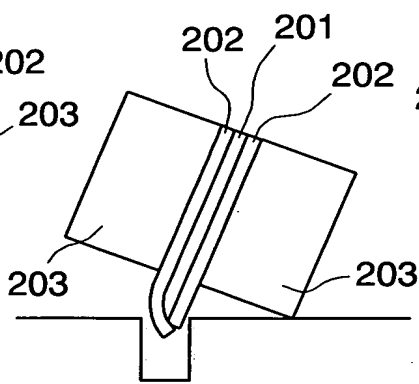


Fig. 22D

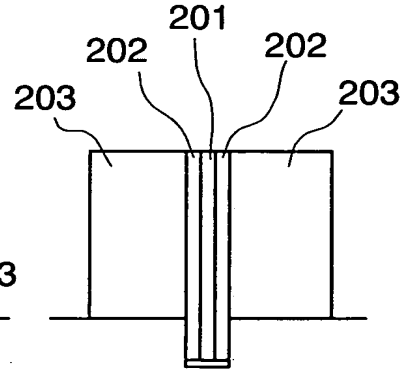


Fig. 23A

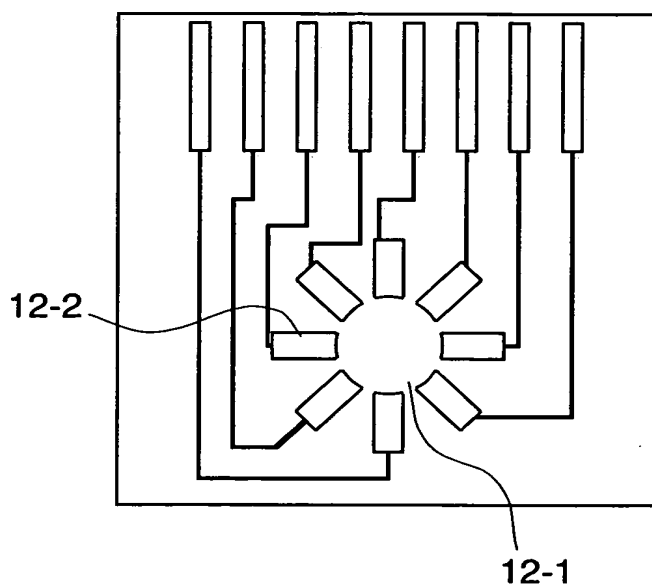


Fig. 23B

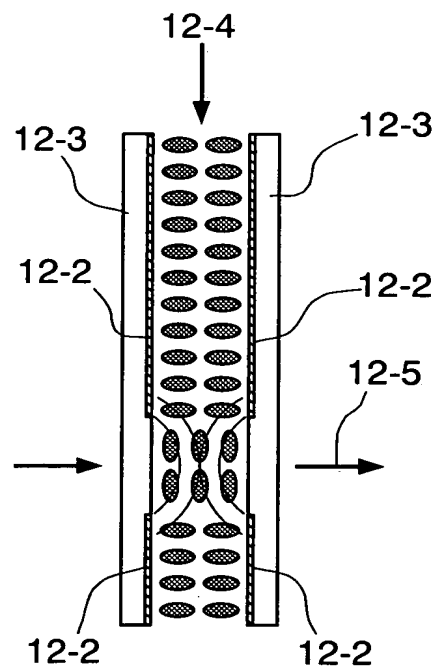


Fig. 23C

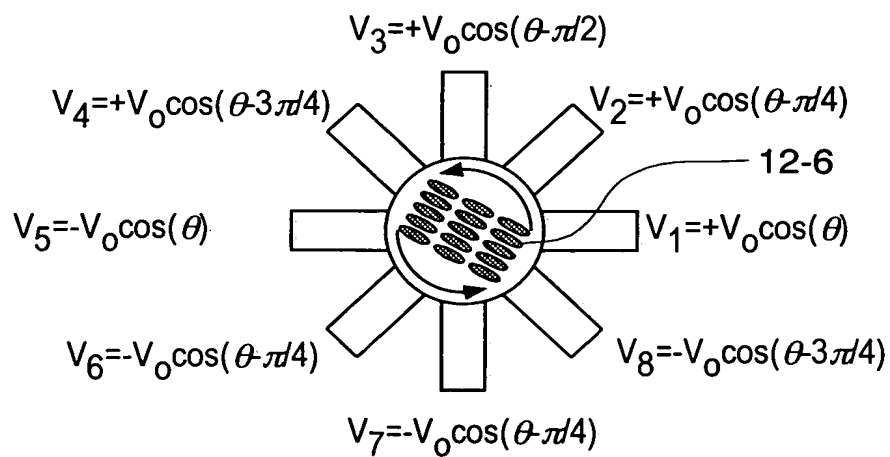


Fig. 24A

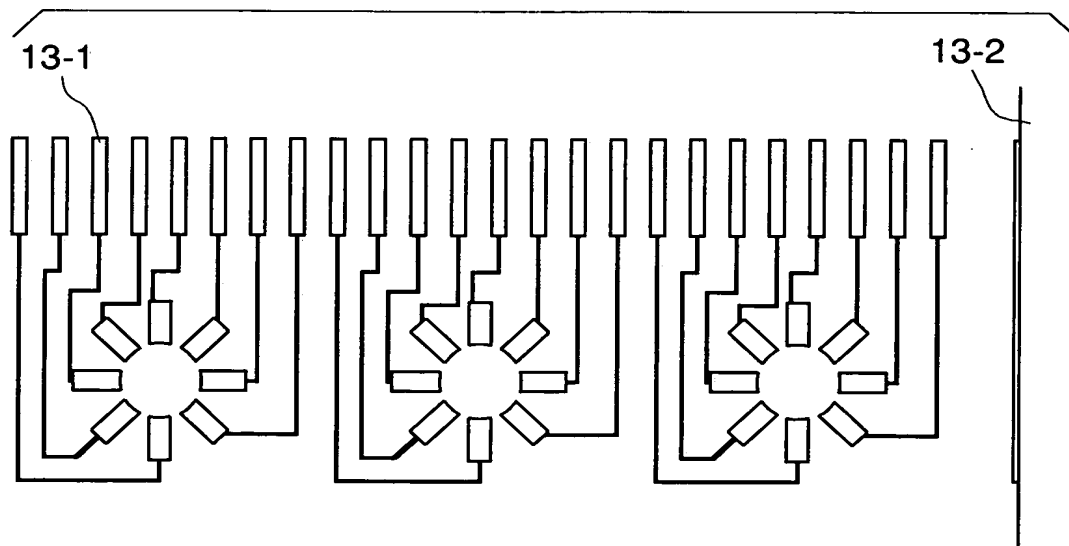


Fig. 24B

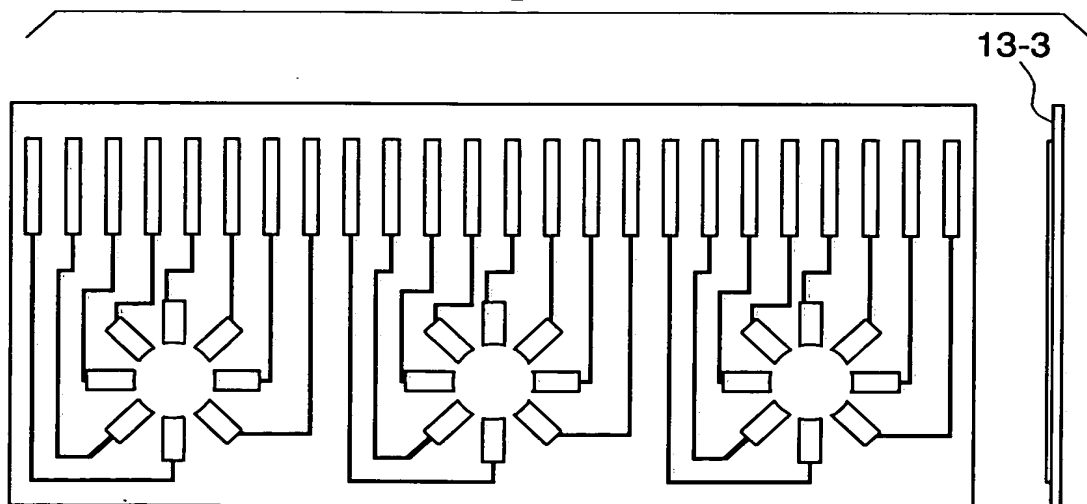


Fig. 25A

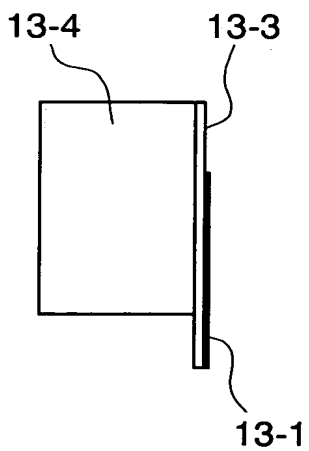


Fig. 25B

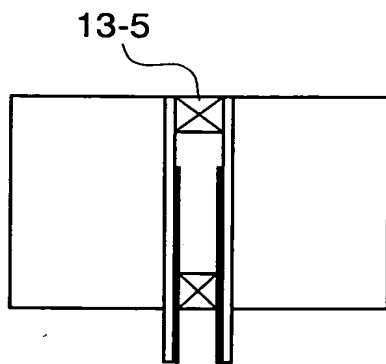


Fig. 25C

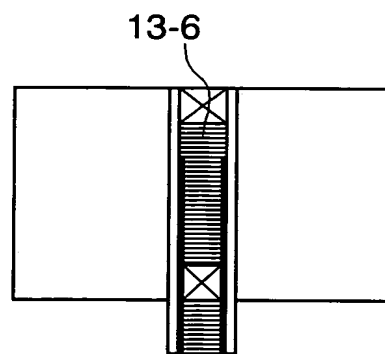


Fig. 26

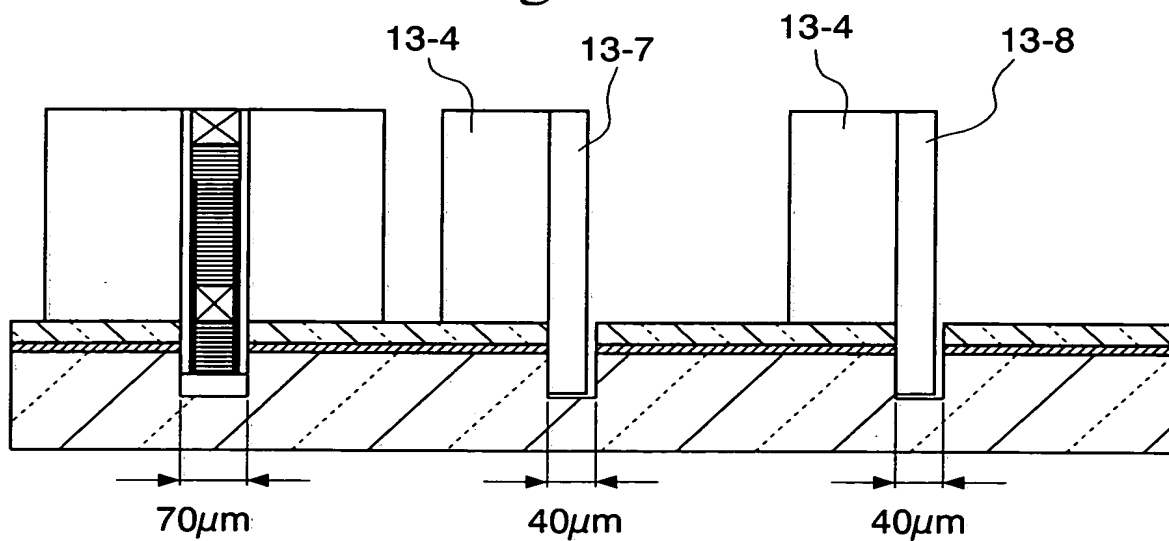


Fig. 27A

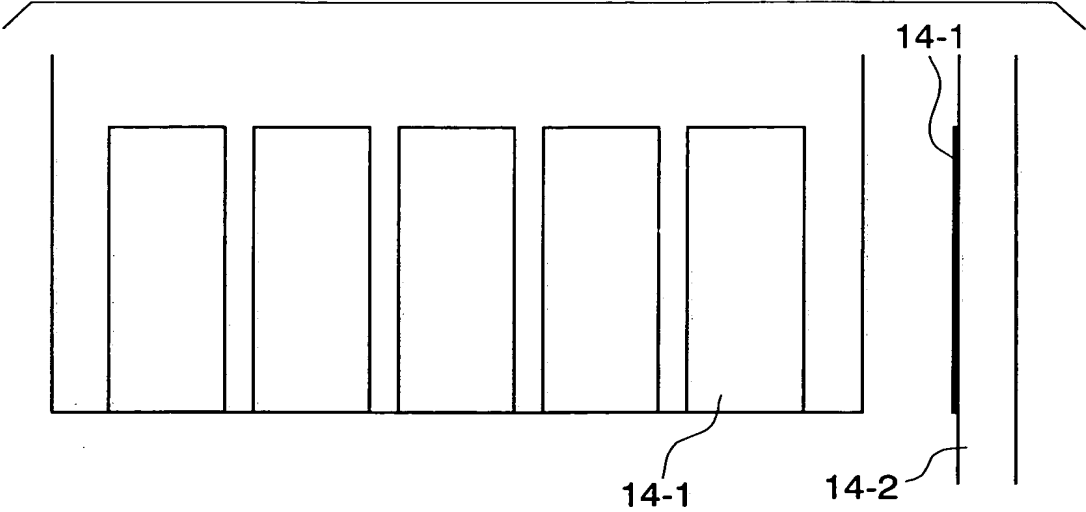


Fig. 27B

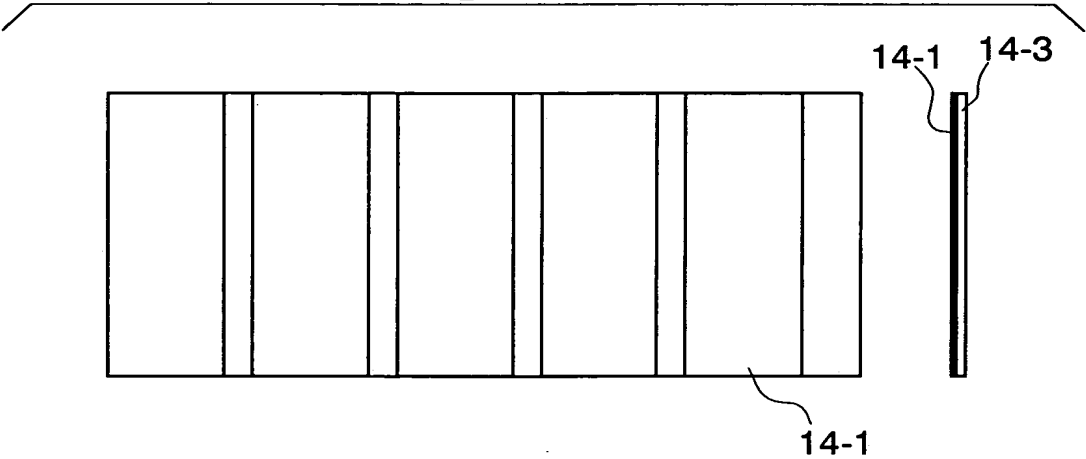


Fig. 27C

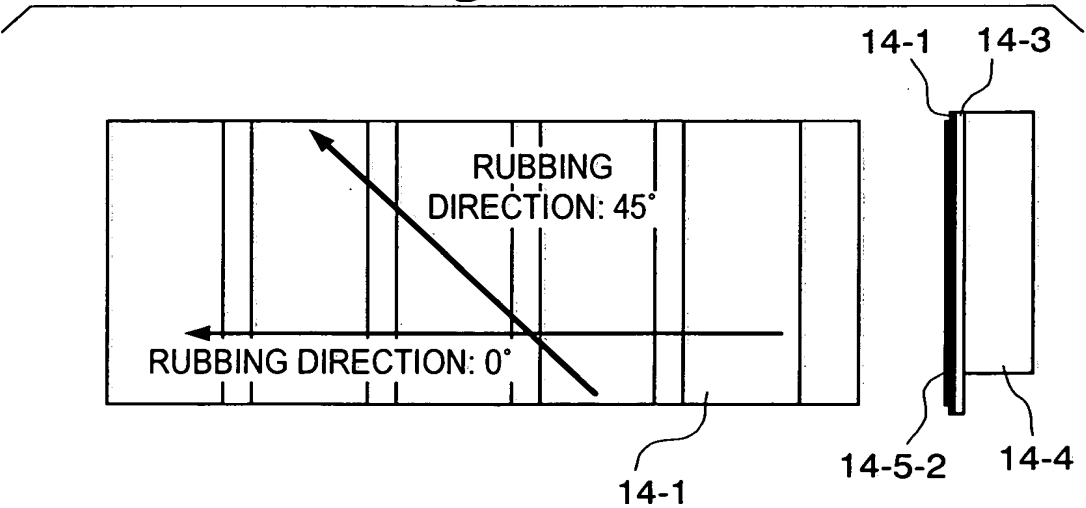


Fig. 28A

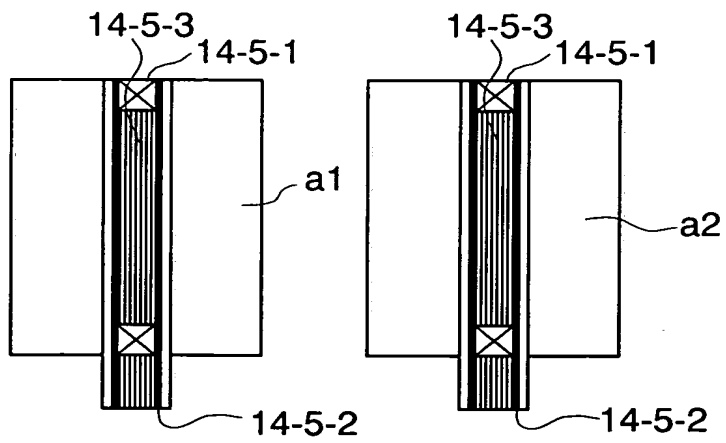


Fig. 28B

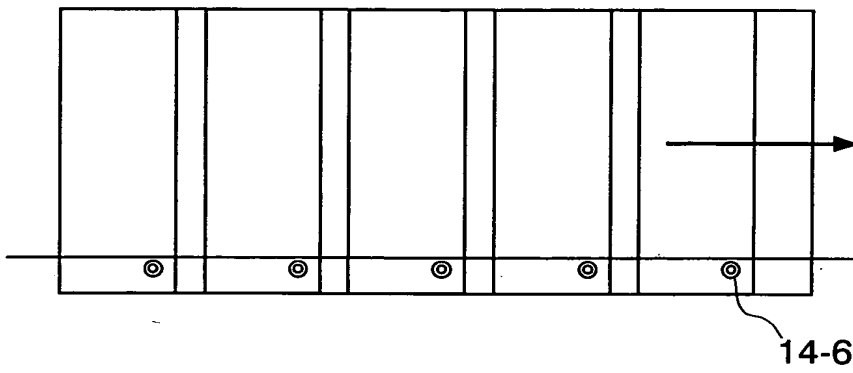
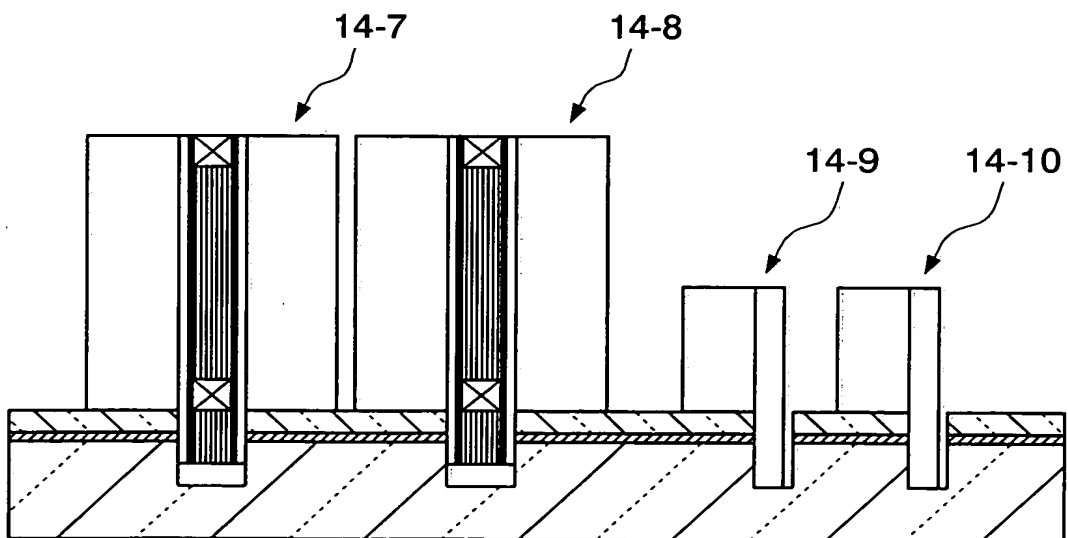


Fig. 28C



208020-TE02/00T

Fig. 29A

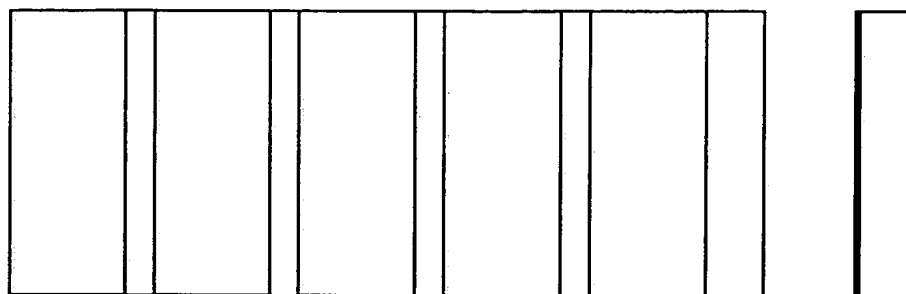


Fig. 29B

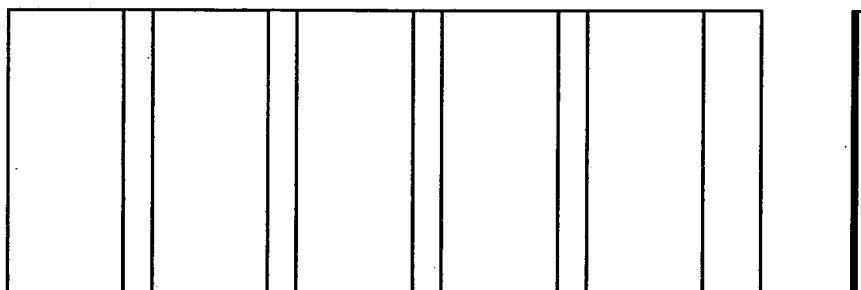


Fig. 29C

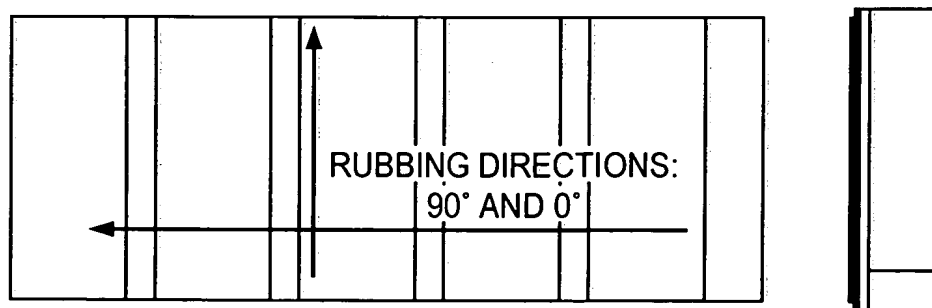


Fig. 30A

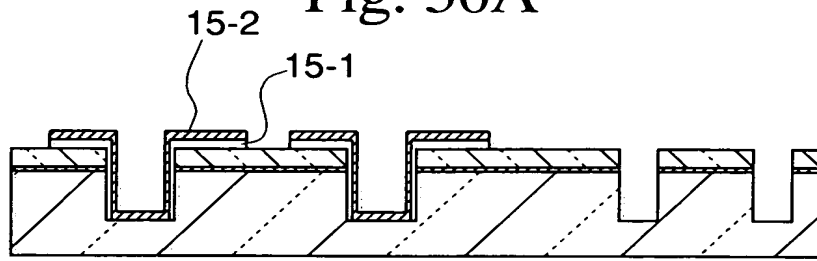


Fig. 30B

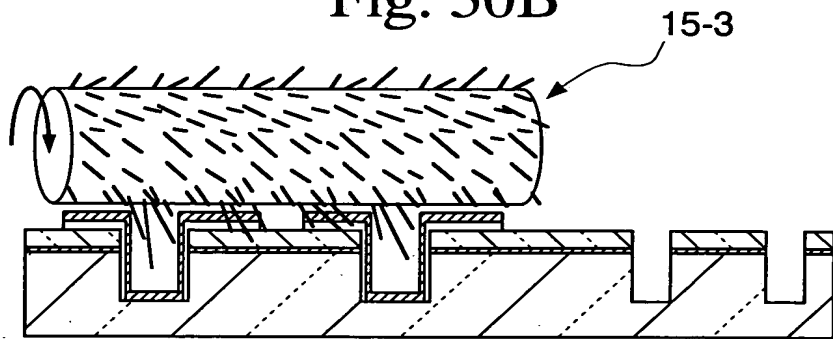


Fig. 30C

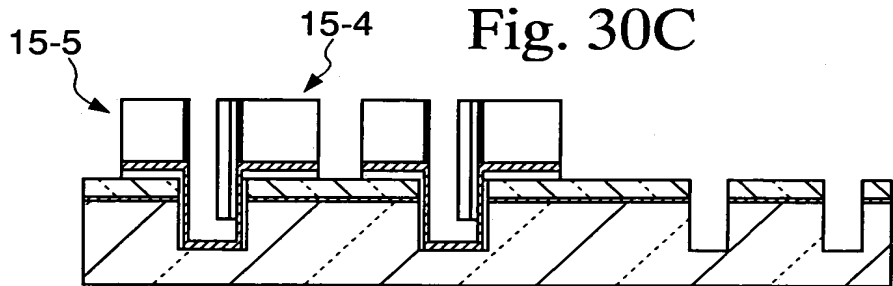


Fig. 30D

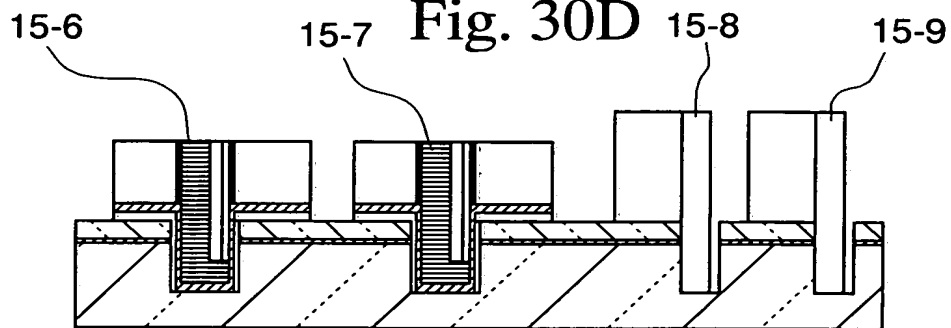


Fig. 31A

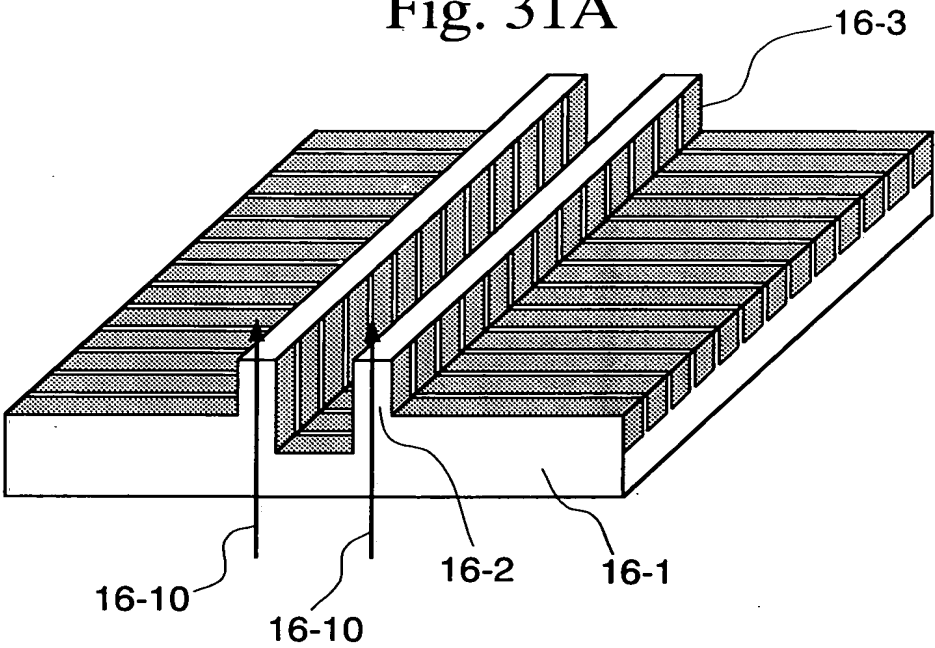


Fig. 31B

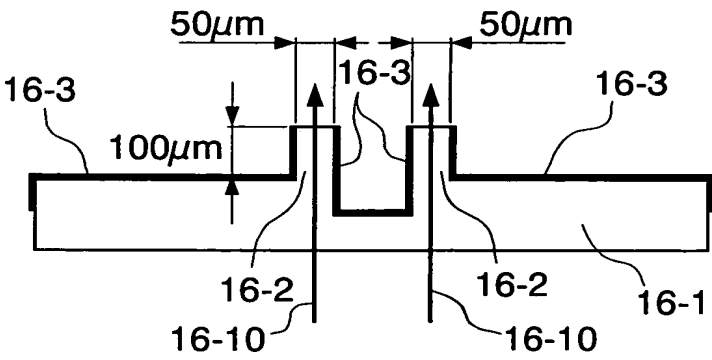


Fig. 31C

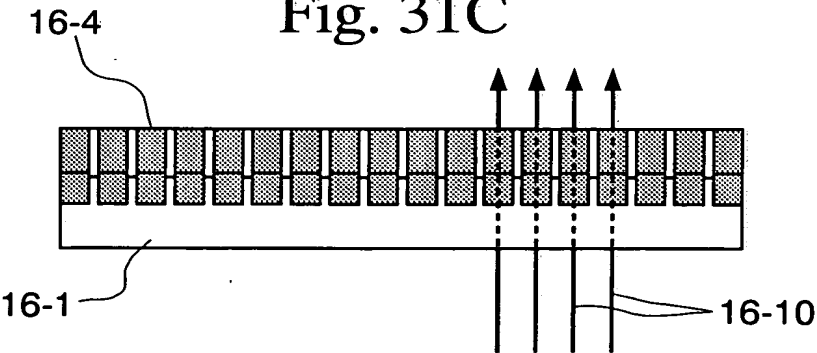


Fig. 32A

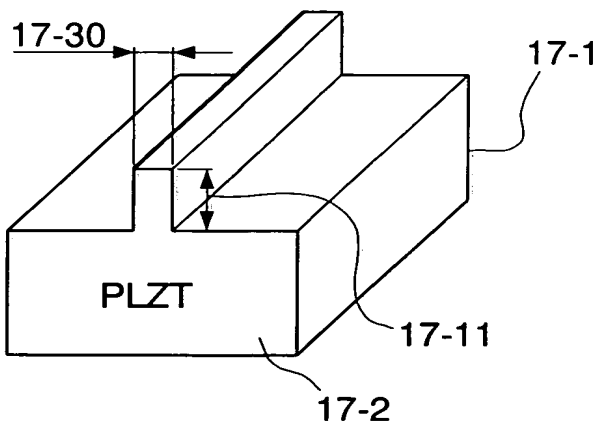


Fig. 32B

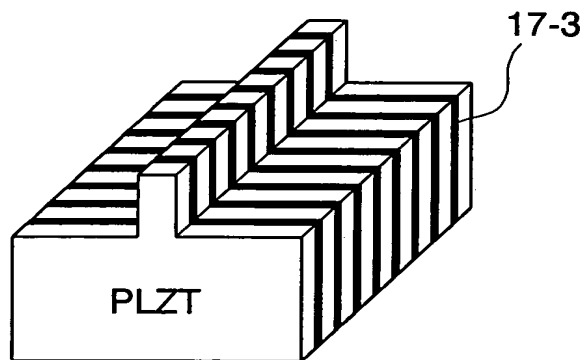


Fig. 32C

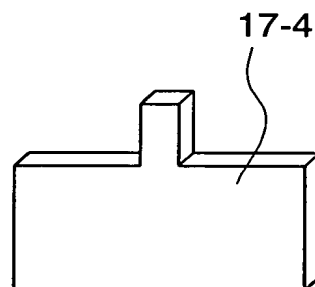


Fig. 32D

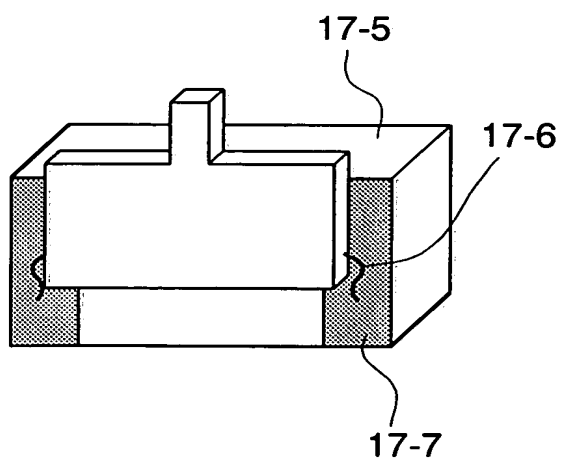


Fig. 32E

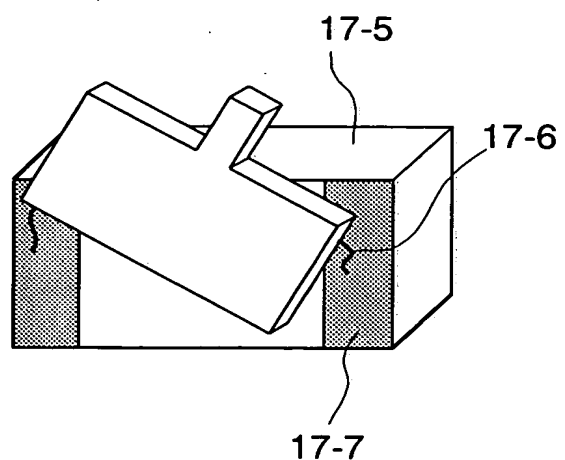


Fig. 33A

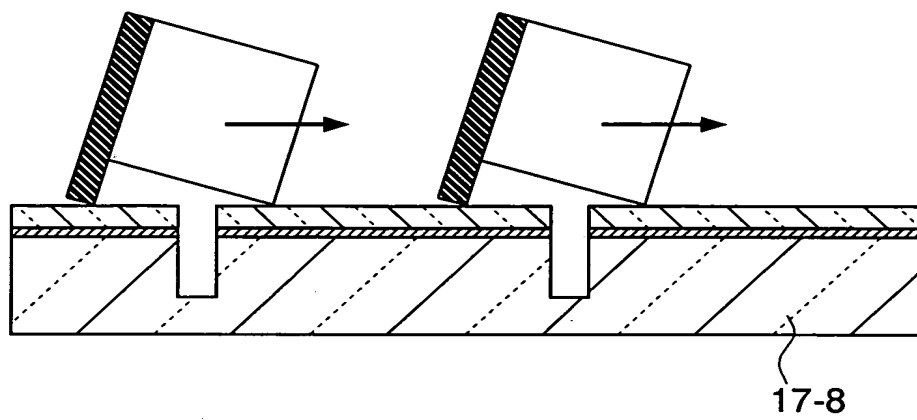


Fig. 33B

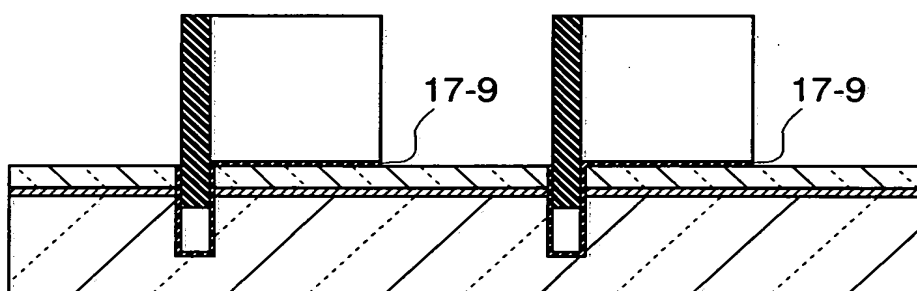


Fig. 34A

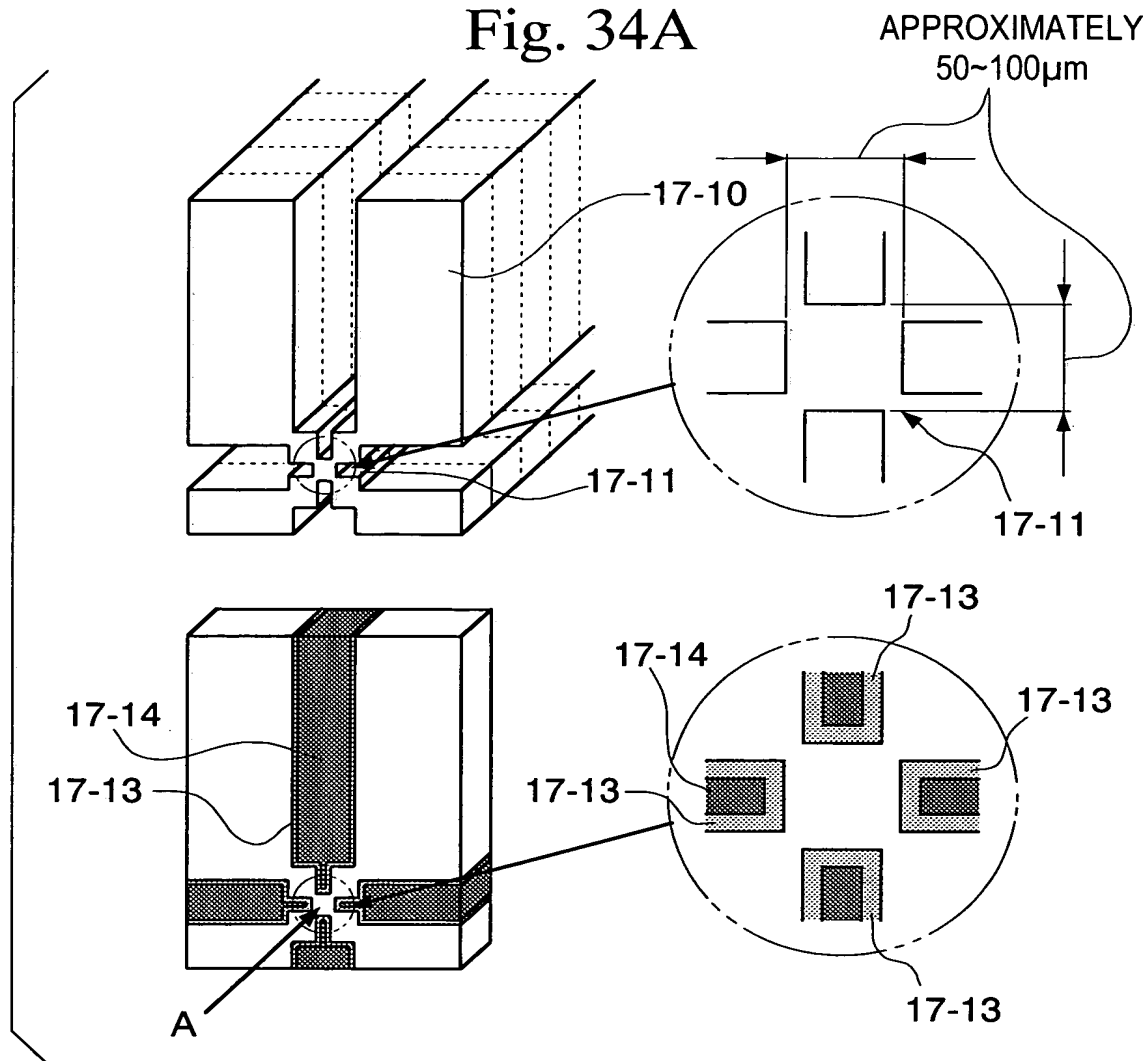


Fig. 34B

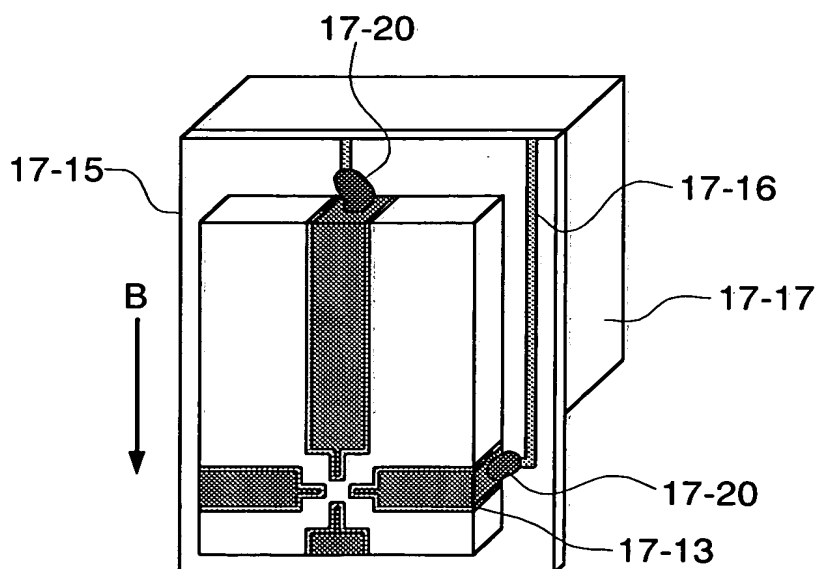


Fig. 35A

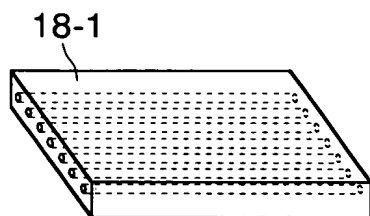


Fig. 35B

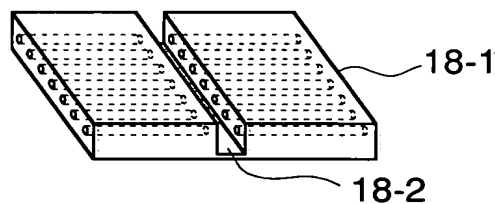


Fig. 35C

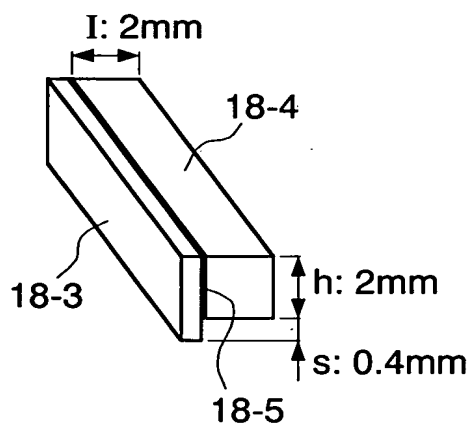
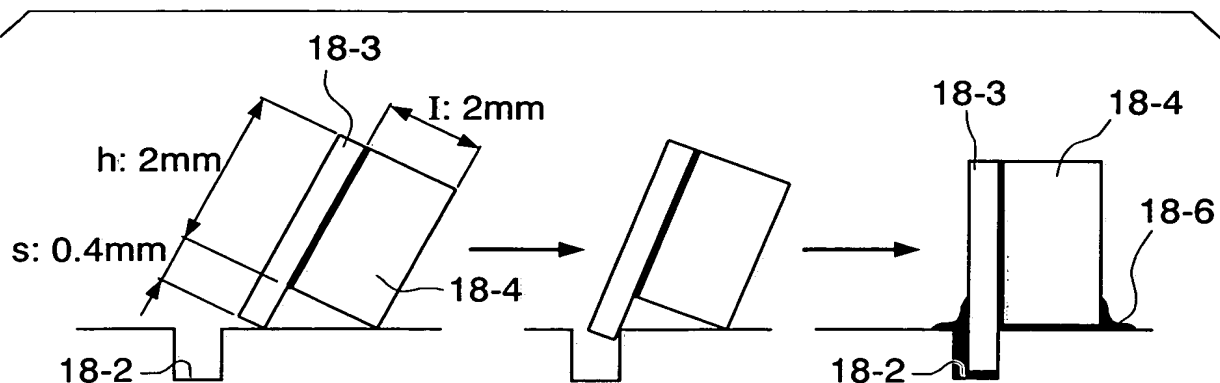


Fig. 35D



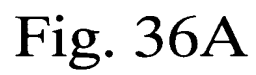


Fig. 37A

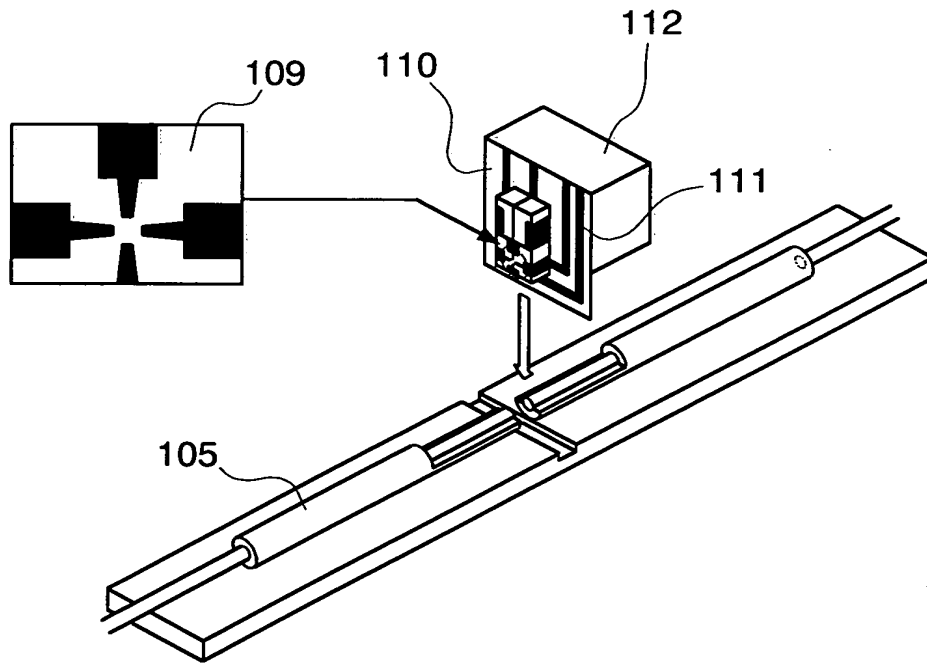
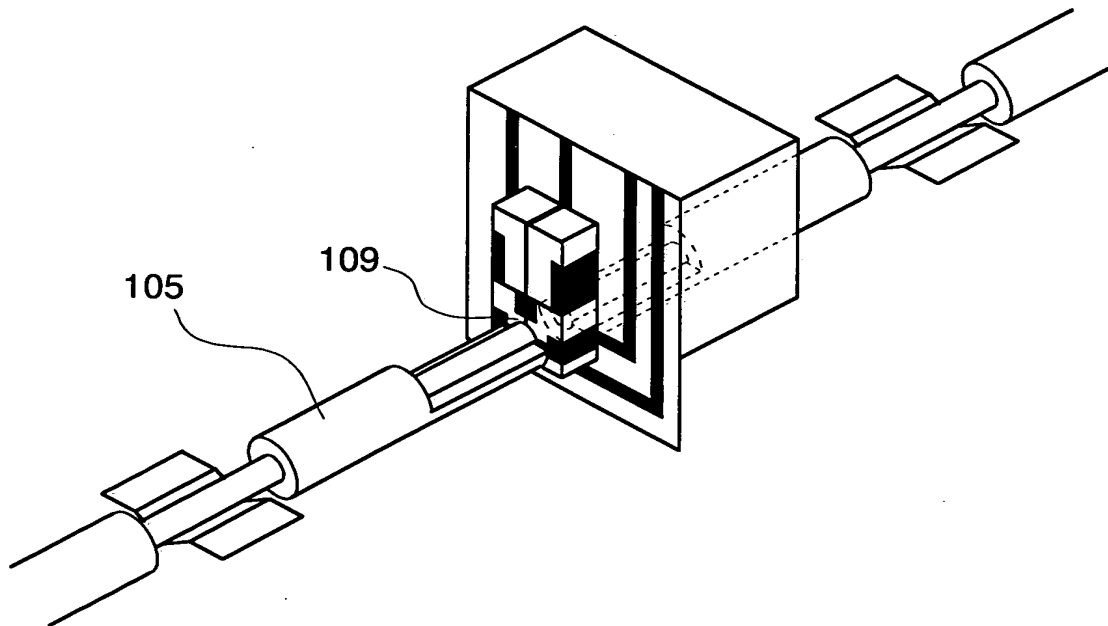


Fig. 37B



20180220 "FE02400T"

Fig. 38A

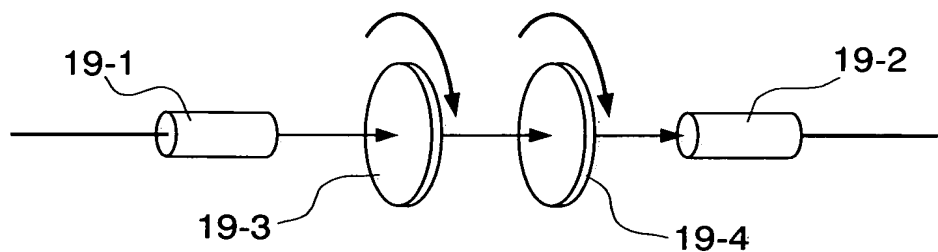


Fig. 38B

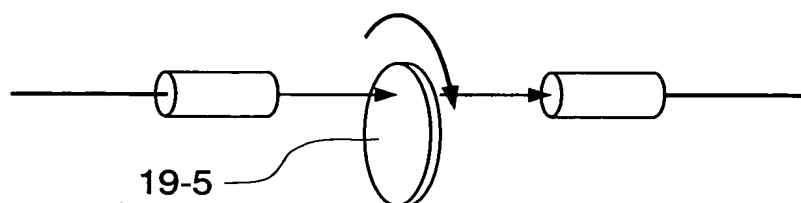


Fig. 38C

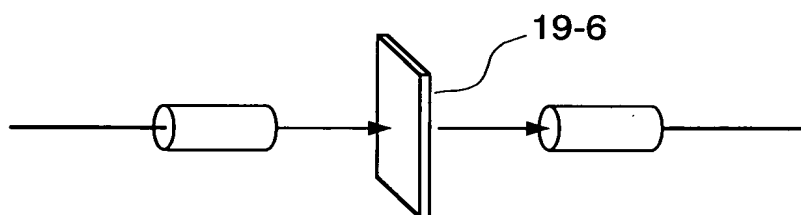


Fig. 38D

